

pamayan yönetimi değiştirmeye olanağı sağlayan seçim mekanizması daha iyi işleyeceğ gibi, bir üyenin yönetimde görev almaya aday olma olağlığı da her zaman vardır. Bunlar demokrasinin gereği ve gerçeğidir. Demokratik Batı toplumu ise duragan değil dinamik bir toplumdur.

Ülkemiz gibi kalkınan, çağdaşlaşan bir toplumda mühendislere önemli görevler ve sorumluluklar yüklenmiştir. Teknoloji üretebilen sanayileşmiş ileri bir toplumu oluşturma görev ve sorumluluğunun öncüsü ve yüklenicisi öncekile mühendistir. Tekstil mühendisleri de bu sorumluluğun bilincinde kendi işlevlerini yerine getirmek için bilinçli ve yaratıcı gayretlerini yoğunlaştırmışlardır. Bu bağlamda bir araya gelmenin, bilgi ve görüş alışverişini sağlamak için örgütlenmenin gereği açıktır. Ancak ör-

gütlenmenin çeşitli aşamaları ve düzeyleri olduğunu da dikkate almak gerekir. Bugün tekstille uğraşan, bu sektörde gönül ve hizmet veren yalnızca tekstil mühendisleri değildir. Niçin tekstille uğraşan mühendis, teknisyen, sanatçı, ekonomist ve diğer mesleklerden her isteyeni içine alan bir üst örgüt olarak bir "Tekstilciler Derneği" kurmak için girişimler yapılmasın. Daha üst düzeyde akademik amaçlar güden bir başka örgüt biçimi de söz konusudur. Merkezi İngiltere'nin Manchester şehrinde uluslararası bir örgüt olan Tekstil Enstitüsü'nün biri 1981 yılında Ege Üniversitesi'nin düzenlediği Atatürk'ün 100. Doğum Yıldönümü Uluslararası Tekstil Sempozyumu'na, ikincisi 1988 yılında Makina Mühendisleri Odası'nın Bursa'da düzenlediği Uluslararası nitelikteki IV. Tekstil Sempozyu-

mu'na başkanının kaleminden yaptığı Tekstil Enstitüsü'nün Türkiye branşının kurulması çağrıları yanıtız kalmıştır. Tüm bu örgütler iç içe ve bir arada tekstil mesleğinin ülkemizdeki gelişimine ve bu mesleği yapan insanlar arasındaki dayanışma, iletişim ve dostluğa önemli katkılar yapabilir. Sanırım tekstil mühendislerinin, yukarıda dediğim konuları düşünmeleri, birbiriley tartışmaları, düşünce ve görüş oluşturmalari için çok zaman yitirmiştir. Bu mesleğe yıllarını vermiş mesleğin ülkemizdeki gelişimine ve tanıtımına elinden geldiğince gayret göstermiş bir tekstil mühendisi olarak özellikle büyük bölümüm öğrencilerim olan genç meslektaşlarımın bu oluşuma aktif katılımlarını görmekten mutluluk duyacağım.

TEKSTİL MÜHENDİSLERİNE

TMMOB Makina Mühendisleri Odası içinde örgütlüğümüzü geliştirebilmek için aşağıdaki dilekçeyi imzalayarak kayıtlı olduğunuz Oda birimine gönderiniz.

**TMMOB
MAKİNA MÜHENDİSLERİ ODASI YÖNETİM KURULU BAŞKANLIĞI'NA
ANKARA**

Özü: Tekstil Mühendisliği Ana Komisyonu ve Komisyonların Kurulması Hk.

33.Olağan Genel Kurul'da alınan kararlar doğrultusunda 1 Mart 1990 tarihinden itibaren geçerli Oda Tüzüğü'nün 66. maddesinde "Meslek Dalı Ana Komisyonu ve Komisyonları" başlığı altında, Oda bünyesinde yeralan meslek dalı üyelerinden en az yüz (100) kişinin başvurması durumunda, Oda Yönetim Kurulu gerekli gördüğü takdirde "Meslek Dalı Ana Komisyonu ve Şubelerde Meslek Dalı Komisyonları" kurulabilmektedir.

Aşağıda imzası bulunan Şubesine kayıtlı biz Tekstil Mühendisleri Odamızda, Oda Tüzüğü'nün 66.maddesine göre "Tekstil Mühendisliği Ana Komisyonu" ve şubemizde "Tekstil Mühendisliği Komisyonu" kurulmasını talep ediyoruz.

Bilgilerinize, gereğinin yapılması onayınıza sunarız. Saygılarımla,/...../1990

Oda Sicil No	Adı Soyadı	İmza
.....
.....
.....

Polyester Liflerinin Yönülenme Faktörleri ve Elastik (Young) Modüllerine Etkisi

Faruk BOZDOĞAN

Dr.
Ege Üni. Müh. Fak. Teks. Böl. İZMİR

Bu çalışmada PET polyester liflerinin Herman kristalin yönlenme faktörü, optik yönlenme faktörü ve elastik (Young) modüllerinin liflerin çift kırılma ölçümülerinden yararlanılarak pratik olarak yaklaşık bir şekilde nasıl tayin edilebileceği anlatılmıştır. Ayrıca uygulama olarak Türkiye'de üretilen düz ve POY polyester iplik liflerinin yönlenme faktörleri ve elastik (Young) modülleri hesaplanmıştır.

THE ORIENTATION FACTORS OF POLYESTER FIBRES AND THEIR EFFECTS ON THE ELASTIC (YOUNG) MODULUS

It has been explained in this article how the Herman crystalline orientation factor, the optical orientation factor and the elastic (Young) modulus of the PET polyester fibres can be determined approximately by means of the double refraction measurements. As practical application the orientation factors and elastic moduli of the filament and POY polyester yarn fibres produced in Turkey have been calculated.

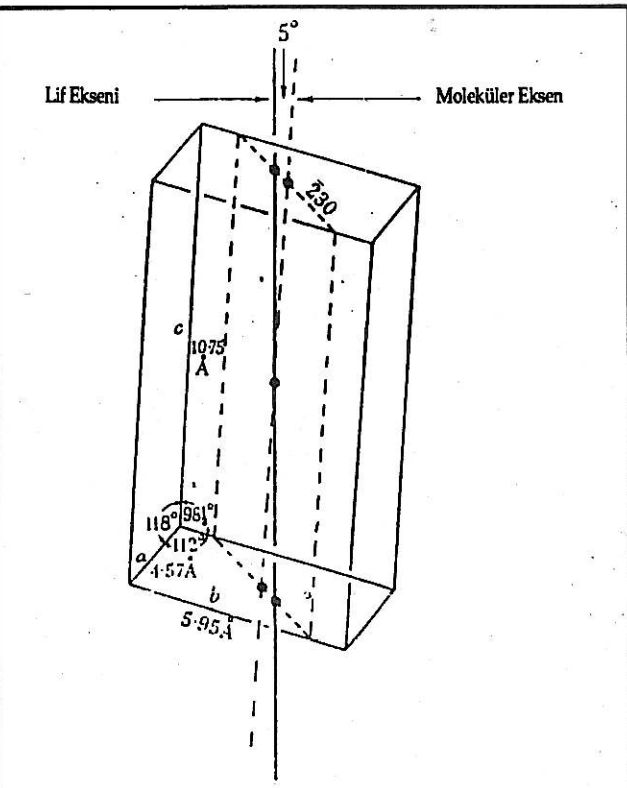
1.GİRİŞ

Polietyl tereftalat liflerinin yapısal karakterizasyonu yapı ve lif özellikleri arasındaki ilişkinin iyi bir şekilde incelenmesiyle ortaya konabilir. Bu sayede liflerin elastik özelliklerinin yanı uygulanan kuvvette tepkileri sonucu meydana gelen uzama, eğilme ve burulma deformasyonlarının incelenmesi mümkündür. Bu incelemeler son ürünün yanı iplik veya kumaşın özelliklerinin ve işlemler sırasında liflerin davranışının tahminlenmesinde önemli katkılar sağlayacaktır, zira liflerin fiziksel özellikleri hakkındaki sınırlı bilgi ipliklerin ve

kumaşların özelliklerinin anlaşılmasında temel olmakla birlikte yeterli değildir.

PET polyester liflerinin eritme ile üretilmesinde ekstrüzyon sıcaklığı, eriyik intrinsik viskozitesi, besleme ve sarım hızı ana değişkenlerdir. Mukavemet, uzama, çekme ve boyanabilirlik gibi liflerin kullanım açısından önemli olan özelliklerini yönlenme ve kristallilik gibi yapısal parametrelerce belirlenir. Bu parametreler ise liflerin üretimi sırasında etken olan yukarıda sayılan değişkenlerle ilgilidir. Örneğin liflerde moleküllerin yönlenmesiyle daha düzenli bir yapı oluşacak, kristalleme derecesi artacaktır. Düzenli bir yapı daha sıkı moleküller yerlesimi gerektireceğinden komşu moleküller arasındaki vander waals çekim kuvvetleri daha etkili olacak ve lifin mukavemeti artacaktır. Bunun yanı sıra lif parlaklığını artacak, fakat esneklik azalacaktır. Yönlendirme ile lifin nem çekme (absorbsıma) özelliği de azalacaktır. Ayrıca liflerin kimyasal maddelere karşı dayanıklılığı da artacaktır.

Yüksek çekim oranına sahip liflerde molekül zincirleri yani birim hücreler birbirlerine ve lif ekseni pareldirler. Birim hücrenin uzun kenarı lif ekseni ile çıkışmaktadır. 210°C'de termofiks edilmiş polyester liflerinin x-ışını difraksiyonu ile incelenmesinden birim hücrenin ekseni ile lif ekseni arasındaki bu yönlenme açısının yaklaşık 5°C olduğu görülmüştür (Şekil 1). Ayrıca polarize mikroskop ile polyester liflerinin incelenmesinden çekim işlemi



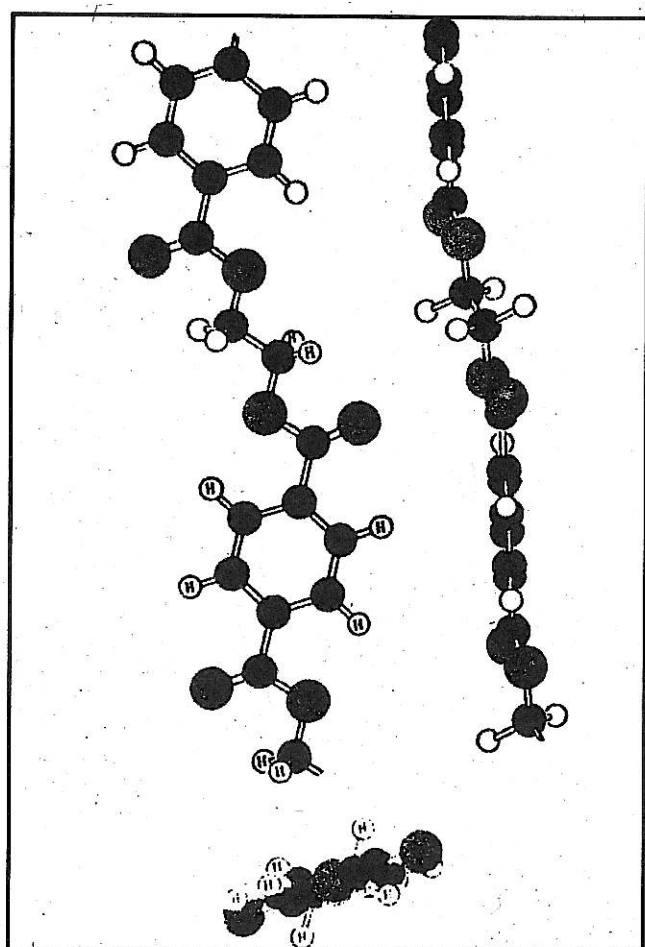
Şekil 1. Triklinik yapıda birim hücre [Daubeny, Bunn ve Brown, 1954].

görmemişlerde çift kırılmanın $\sim 4 \cdot 10^{-3}$ olduğu, yani iyi bir yönlenmenin olmadığını, buna karşılık çekim işlemi görmüşlerde ise çift kırılmanın $\sim 200 \cdot 10^{-3}$ olduğu, yani iyi bir yönlenmenin olduğu görülmektedir. Yüksek çift kırılmanın en büyük sebebi benzer halkalarının düzlemleri ile lif ekseniň yaklašık olarak birbirlerine paralel olmasıdır.

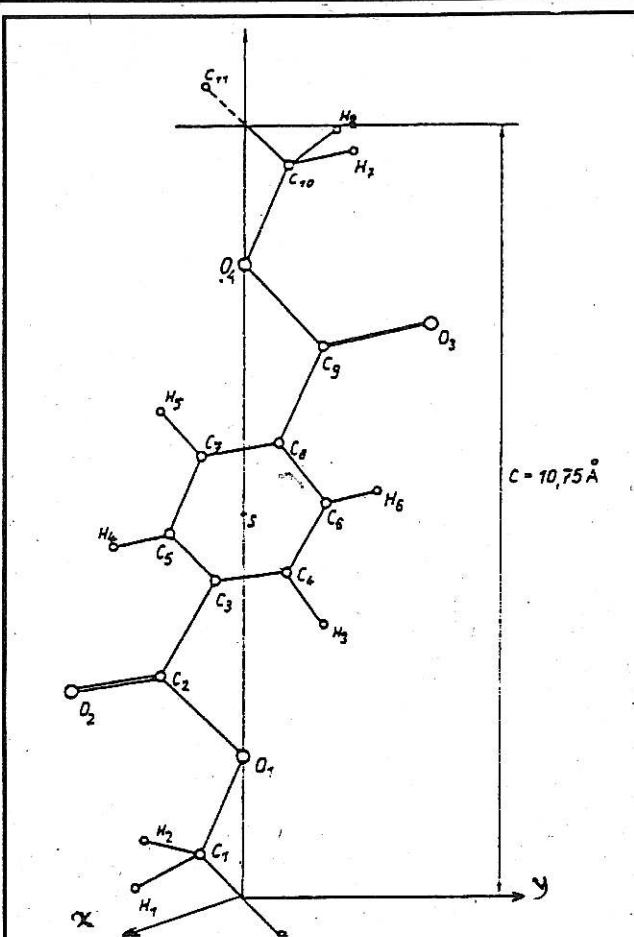
Bir lifte eksenel yönlenme derecesi nicel olarak yönlenme faktörlerinin tayin edilmesiyle belirlenir. Yönlenme faktörleri ise bize liflerin mekanik özellikleri, örneğin elastik (Young) modülleri hakkında bilgi verir.

2.1. Polyester Liflerinin Kristal Yapısı

Polyester liflerinin birim hücresi triklinik yapıya sahiptir. Bu hücrenin yapı parametreleri $a = 4.56 \text{ \AA}$; $b = 5.94 \text{ \AA}$; $c = 10.74 \text{ \AA}$; $\alpha = 98^{1/2} \text{ }^\circ$; $\beta = 118 \text{ }^\circ$; $\gamma = 112 \text{ }^\circ$ dir (Şekil 1). Birim hücrelerin moleküler zincir eksenleri lif ekseniň göre birkaç derece eğiktir. Diğer bütün hücreler birim hücre ile aynı derecede eğilmişlerdir. Liflerin gördükleri işleme göre bu eğim açısı değişmektedir. Birim hücreyi oluşturan monomerlerden birinin yapısı Şekil 2'de, atomların koordinat düzeni Şekil 3'de ve koordinatları Tablo 1'de verilmiştir.



Şekil 2. Polyester lifinin molekül konfigürasyonu [Daubeny, Bunn ve Brown, 1954].



Şekil 3. Polyester monomerinin üç boyutlu uzayda yerlesimi [Wlochowicz, Rabiej ve Jaroslaw, 1983].

Tablo 1. Triklinik yapıda polyester atomlarının koordinatları [Daubeny, Bunn ve Brown, 1954].

Atomun pozisyonu	x (\text{\AA})	y (\text{\AA})	z (\text{\AA})
C ₁	0.21	-0.51	0.43
O ₁	0.24	0.00	1.88
C ₂	0.00	-1.08	2.55
O ₂	-0.45	-2.47	1.83
C ₃	0.00	-0.47	3.99
C ₄	0.46	1.01	4.71
C ₅	-0.53	-1.53	4.66
C ₆	0.53	1.53	6.095
C ₇	-0.46	-1.01	6.042
C ₈	0.00	0.47	6.76
C ₉	0.00	1.08	8.20
O ₃	0.45	2.47	8.92
O ₄	-0.24	0.00	8.87
C ₁₀	-0.21	0.51	10.32

Polyester monomerindeki bağların uzunlukları ve z ekseni ile yaptıkları ϕ açıları ise Tablo 2'de verilmiştir.

Tablo 2. Poyester monomerindeki bağların uzunlukları ve z ekseni ile yaptıkları açılar [Wlochowicz, Rabiej ve Jaroslaw, 1983]

Bağ Tipi	Bağ Uzunlukları	$\phi (^\circ)$	$\cos \phi$
C ₁ - O ₁	1.44	19.90	0.9402688
O ₁ - C ₂	1.34	47.43	0.6764847
C ₂ - O ₂	1.27	104.74	-0.2544469
C ₂ - C ₃	1.49	23.95	0.9138702
C ₃ - C ₄ (ar)*	1.35	76.65	0.2309486
C ₃ - C ₅ (ar)*	1.35	44.61	0.7118893
C ₄ - C ₆ (ar)*	1.35	20.93	0.93400
C ₇ - C ₈ (ar)*	1.35	76.65	0.2309486
C ₆ - C ₈ (ar)*	1.35	44.48	0.7135242
C ₅ - C ₇ (ar)*	1.35	20.985	0.9336744
C ₈ - C ₉	1.49	23.95	0.9138702
C ₉ - O ₃	1.27	75.26	0.2544469
C ₉ - O ₄	1.34	47.43	0.6764847
O ₄ - C ₁₀	1.44	19.90	0.9402688
C ₀ - C ₁	1.49	56.30	0.5548374
C ₁ - H ₁	1.09	102.48	-0.2161169
C ₁ - H ₂	1.09	102.48	-0.2161169
C ₁₀ - H ₇	1.09	77.52	0.2161169
C ₁₀ - H ₈	1.09	77.52	0.2161169
C ₄ - H ₃	1.09	140.28	-0.7692058
C ₇ - H ₅	1.09	39.72	-0.7692058
C ₅ - H ₄	1.09	99.525	-0.16554813
C ₆ - H ₆	1.09	80.475	0.1654813

* ar = Aromatik Bağ

Monomerlerin triklinik yapıda yerlesimi aşağıdaki Şekil 4'deki gibi olmaktadır. Monomerin boyutları Tablo 3'de verilen atomlar yardımcı ile hacimli modele göre oluşturduğumuzda monomer ve birim hücre Şekil 5 ve 6'daki görünüşleri almışlardır.

Birim hücrenin hacmi V,

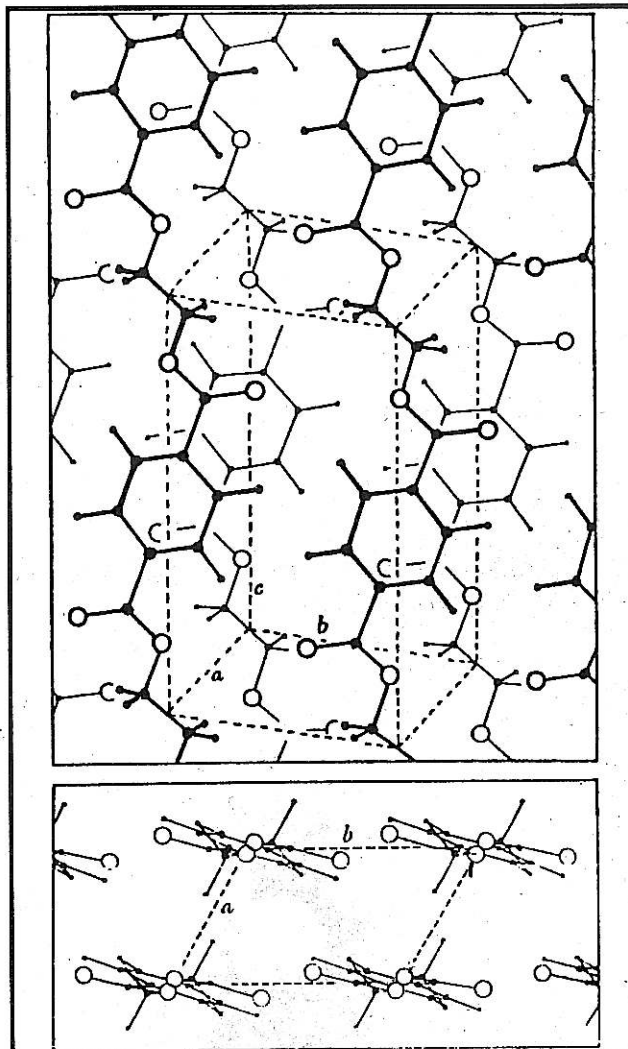
$V = abc \sqrt{1 - \cos^2\alpha - \cos^2\beta - \cos^2\gamma + 2\cos\alpha \cos\beta \cos\gamma}$ denklemi ile hesaplanır. Düzlemler arasındaki mesafeler

$$d_{hkl} = \frac{\left| \begin{matrix} h/a & \cos\gamma & \cos\beta \\ k/b & 1 & \cos\alpha \\ l/c & \cos\gamma & 1 \end{matrix} \right| + \frac{k}{b} \left| \begin{matrix} 1 & h/a & \cos\beta \\ \cos\gamma & k/b & \cos\alpha \\ \cos\beta & 1/c & 1 \end{matrix} \right| + \frac{l}{c} \left| \begin{matrix} 1 & \cos\gamma & h/a \\ \cos\gamma & 1 & \cos\alpha \\ \cos\beta & \cos\gamma & 1 \end{matrix} \right|}{\left| \begin{matrix} 1 & \cos\gamma & \cos\beta \\ \cos\gamma & 1 & \cos\alpha \\ \cos\beta & \cos\gamma & 1 \end{matrix} \right|}$$

denklemi ile ve düzlemler arasındaki açılar (ϕ) ise,

$$\cos\phi = \frac{d_1 d_2}{V} [b^2 c^2 \sin^2\alpha h_1 h_2 + a^2 c^2 \sin^2\beta k_1 k_2 + a^2 b^2 \sin^2\gamma l_1 l_2]$$

$+ a^2 bc (\cos\beta \cos\gamma - \cos\alpha) (k_1 l_2 + k_2 l_1) + ab^2 c (\cos\gamma \cos\alpha - \cos\beta) (l_1 h_2 + l_2 h_1) + abc^2 (\cos\alpha \cos\beta - \cos\gamma) (h_1 h_2 + h_2 k_1)$ denklemi ile hesaplanır. Denklemelerde verilen (hkl) indisleri Miller indisleridir.



Şekil 4. Monomerlerin triklinik yapıda yerlesimi [Daubeny, Bunn ve Brown, 1954]. O - Oksijen, • Hidrojen Atomları, ● Karbon

2.2. Herman Kristalin Yönülenme Faktörlerinin ve Optik Yönülenme Faktörlerinin Çift Kırılma Ölçümleri Yardımı İle Hesaplanması ve Elastik Modül (Young modülü) Tayini

Bir lifte eksenel yönlenme derecesi yani lif ekseni ile birim hücre veya kristalitler arasındaki θ açısından Herman'ın kristalin yönlenme faktörü [Varma, Agarwal, Varma, 1986; Gupta, Kumar 1979],

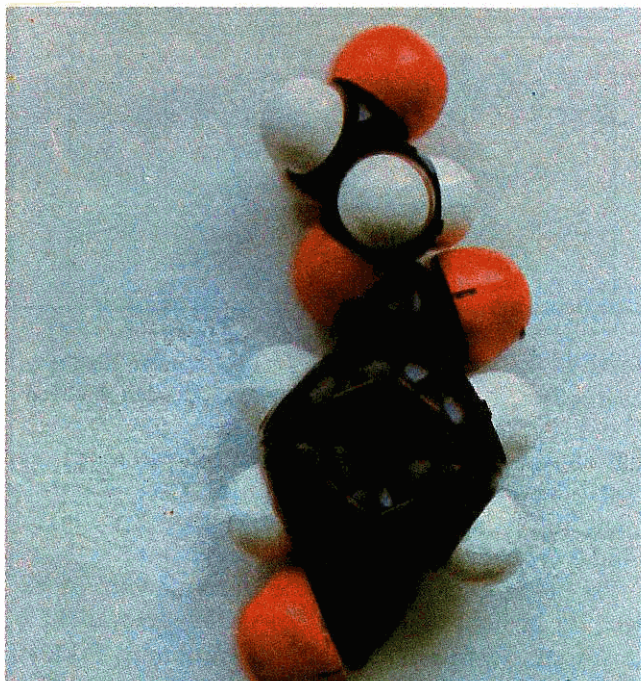
$$f_c = \frac{1}{2} (3 < \cos^2\theta > - 1) = 1 - \frac{3}{2} < \sin^2\theta >$$

denklemi ile verilir. Burda f_c Herman kristalin

Tablo 3. Hacimli modele göre oluşturulan monomerlerin ve birim hücrenin oluşturulmasında kullanılan atom modellerinin verileri. [Leybold-35510]

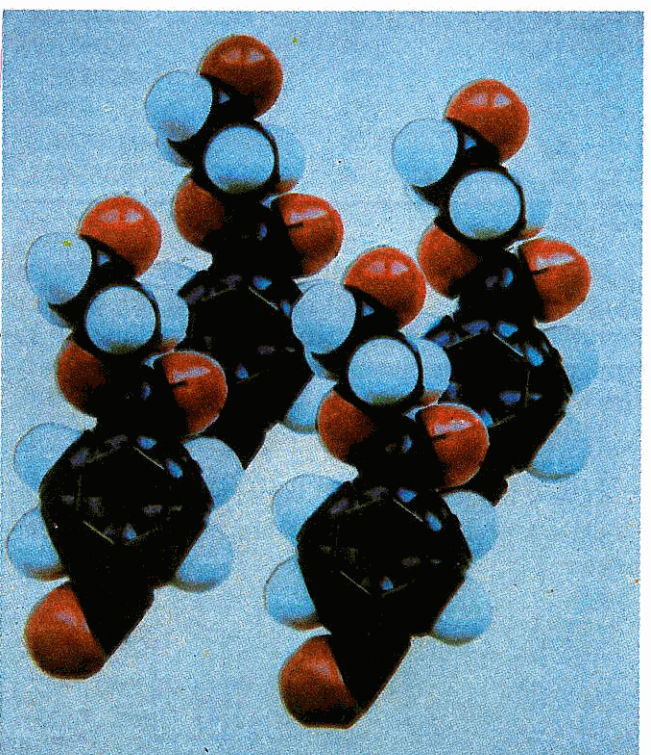
İsim	Atom Sembolu	Görünüş	Etkin yarı çap r_σ / r_π	Atomun model yüksekliği h	Değerlik açıları $\alpha; \beta; \gamma; \sigma$
Hidrojen	H—		$r_\sigma = 1,5 \text{ cm}$	$h = 1,8 \text{ cm}$	
C - alifatik			$r_\sigma = 1,9 \text{ cm}$	$h = 3,1 \text{ cm}$	$\alpha = \beta = \gamma = \sigma = 110^\circ$
C - etilen			$r_\sigma = 1,9 \text{ cm}$ $r_\pi = 2,4 \text{ cm}$	$h1 = 3,1 \text{ cm}$ $h2 = 4,8 \text{ cm}$	$\alpha = \beta = \gamma = 120^\circ$
C - aromatik			$r_\sigma = 1,9 \text{ cm}$ $r_\pi = 2,4 \text{ cm}$	$h1 = 3,1 \text{ cm}$ $h2 = 4,8 \text{ cm}$	$\alpha = \beta = \gamma = 120^\circ$
O - karbonil	O=		$r_\sigma = 1,8 \text{ cm}$ $r_\pi = 2,4 \text{ cm}$	$h1 = 2,6 \text{ cm}$ $h2 = 4,8 \text{ cm}$	
O - eter			$r_\sigma = 1,9 \text{ cm}$	$h = 2,9 \text{ cm}$	$\alpha = 109^\circ$

yönenme faktörü, $\langle \cos^2\theta \rangle$ ve $\langle \sin^2\theta \rangle$ ifadeleri verilen kristal ekseni ile lif ekseni arasındaki açının kosinusu ve sinüsünün karelerinin ortalamalarını göstermektedir.



Şekil 5. Hacimli modele göre elde edilmiş olan monomerin görünüşü.

Herhangi bir çekim oranında çift kırılma (Δn) ile maksimum çift kırılma ($\Delta n_0 = 0,210$) arasındaki ilişki [Biswas, Sengupta, Basu, 1986]



Şekil 6. Birim hücreye monomerlerin yerleştirilmesi ile elde edilmiş olan görünüş.

$$I_4 = \frac{2}{3} \left(1 - \frac{\Delta n}{\Delta n_0} \right)$$

denklemi ile verilmektedir. Burada I_4 , θ 'ya bağlı bir sabittir. Bu sabit

$$I_4 = \langle \sin^2 \theta \rangle$$

denklemi ile de ifade edilmektedir. [Biswas, Sengupta, Basu, 1986].

Cift kırılması ölçülmüş lifler için yukarıda verilen üç denklem yardımcı ile Herman kristalin yönlenme faktörü f_c hesaplanabilir. I_4 sabiti f_c denkleminde yerine konulursa,

$$f_c = \frac{\Delta n}{\Delta n_0}$$

eşitliği elde edilir. Bu eşitlik sayesinde Herman kristalin yönlenme faktörünü yaklaşık olarak hesaplayabiliriz.

Ayrıca optik yönlenme faktörü f_c aşağıdaki denklem kullanılarak çift kırıcılık ve yoğunluk ölçümülerinden hesaplanabilir [Varma, Agarwal, Varma, 1986].

$$f_c = \frac{\Delta n}{\Delta n_0} \cdot \frac{\rho_c}{\rho}$$

Burada ρ_c tamamen kristalin örneğin yoğunluğu ve ρ incelenen örneğin deneySEL olarak ölçülen yoğunludur. Bu eşitlikte f_c 'yi yerine koyarsak daha kullanımı olan eşitliği elde ederiz. Genel olarak $\rho_c = 1,455 \text{ gr/cm}^3$ olarak alınmaktadır.

$$f_c = f_o \cdot \frac{\rho_c}{\rho}$$

Bulunan kristalin yönlenme faktörünün doğruluğunu kontrol, mekaniksel ve optik incelemelerin birleştirilmesi için kristalin yönlenme faktöründen yararlanılarak bulunan elastik (Young) modülü [Biswas, Sengupta, Basu, 1986],

$$(E)^{-1} = I_1 (S_{11} + S_{33} - Z) + I_4 (Z - 2S_{33}) + S_{33}$$

eşitliği ile verilmiştir. Burada $I_1 = \langle \sin^4 \theta \rangle$, S_{11} , S_{33} ve Z birer sabittir. Literatürde PET lifleri için $S_{11} = 0,80$; $S_{33} = 0,055$; $Z = 0,15 \text{ GPa}$ olarak verilmiştir [Biswas, Sengupta, Basu, 1986].

3. DENEYSEL ÇALIŞMA

Yapılan çalışmada Türkiye'de üretilen düz ve POY polyester filament ipliklerinin çift kırılma ölçümülerinden yararlanılarak hesaplanan kristalin yönlenme faktörü, optik yönlenme faktörü ve elastik (Young) modülü değerleri Tablo 4'de verilmiştir.

4. SONUÇ

Elde edilen yönlenme faktörü değerlerinden yönlenme faktörünün değeri artığı Young modülünün artığı görülmektedir. Ayrıca Young modülü ile çift kırılma değerleri yardımıyla bulunan I , I_4 , S_{11} , S_{33} ve Z sabitleri arasındaki ilişkiye gösteren eşitliklerden elde edilen "Young" modülü sonuçlarının

Tablo 4. Türkiye'de üretilen düz ve POY polyester filament ipliklerinin bazı yönlenme faktörleri ve elastik (Young) modülleri.

Düz iplik lifleri				
Lif Numarası (Denye)	Herman Kristalin Yönlenme Fak.(f _c)	Optik Yönlenme Fak. (f _o)	Young Mod.E . 10 ¹⁰ (dyn/cm ²)	Teorik DeneySEL
2,70	0,77	0,81	12,82	14,62
4,09	0,59	0,62	8,40	12,32
4,69	0,59	0,62	8,40	10,33
3,10	0,74	0,78	12,05	11,97
4,80	0,58	0,61	8,26	7,11
2,92	0,78	0,82	13,16	9,14
POY Lifleri				
7,50	0,12	0,13	3,11	1,62
4,89	0,14	0,15	3,23	1,72
4,60	0,15	0,16	3,29	1,71
7,57	0,12	0,13	3,11	1,18
4,18	0,16	0,17	3,34	1,33
7,79	0,12	0,13	3,11	1,64
6,90	0,13	0,14	3,17	1,49
7,60	0,12	0,13	3,11	0,97
7,70	0,12	0,13	3,11	1,02
6,76	0,11	0,12	3,06	1,51
4,34	0,16	0,17	3,34	1,26

düz iplikleri için fotoğraftan alınan yük - uzama eğrilerinden hesaplanan "Young" modülü değerleri ile hemen hemen aynı değerlerde oldukları görülmüştür. Buradan da liflerin çift kırılmalarının ölçülmesi ile liflerin kristalit yönlenmesi, elastik (Young) modülleri hakkında pratik bir bilgi verilebileceği görülmüştür.

KAYNAKÇA

- ALEXANDER, L.E. 1969. X-Ray Diffraction Methods in Polymer Science, John Wiley & Sons. Inc., New York. London Sydney, Toronto
- BISWAS, P.K., SENGUPTA, S. and BASU, A.N. 1986. Mechanical properties of oriented fibres of semicrystalline polymers based upon orientation function from optical properties Colloid & Polymer, 264, 128-130.
- BOZDOĞAN, F. 1989. Türkiye'de üretilen Polyester liflerinden Elastik Özelliklerle Kristal Yapı Arasındaki İlişkilerin İncelenmesi. Doktora Tezi.
- DAUBENY R., DE P., BUNN C.W., BROWN C.J., 1954. "The crystal structure of Polyethylene terephthalate" Proc. Roy. Soc. A, 226, 531.
- GUPTA, V.B. and KUMAR, S. 1979. "Determination of Crystallite Orientation in Polyethylene Terephthalate Fibers" Text. Res. J., July, 405.
- KLUG, H.P., ALEXANDER, L.E., 1974. X-Ray Diffraction Procedures for Polycrystalline and Amorphous Materials. John Wiley & Sons, Inc, New York. London Sydney, Toronto.
- LEYBOLD-35510. Set of Parts, for Assembling Crystal Lattice Models.
- VARMA, D.S. AGARWAL, R. and VARMA I.K. 1986 "Poly (Ethylene Terephthalate)/Poly (alkylene Terephthalate) co-polyester Fibers: Mechanical and Pysical Properties" Text. Res. J., June, 364.
- WLCHOWICZ, A., RABIEJ, S. and JANICKI, J., 1983 "Determination of the Birefringence of an Ideal Polyester Fiber (PET) with Regard to the Intermolecular Interactions." J.Appl. Polym. Sci., 28-1335.